

**Zeitschrift:** Bulletin des Schweizerischen Elektrotechnischen Vereins, des Verbandes Schweizerischer Elektrizitätsunternehmen = Bulletin de l'Association suisse des électriciens, de l'Association des entreprises électriques suisses

**Herausgeber:** Schweizerischer Elektrotechnischer Verein ; Verband Schweizerischer Elektrizitätsunternehmen

**Band:** 80 (1989)

**Heft:** 23

**Artikel:** Dynamische Messung von Partikeln mittels Aerosol-Photoemission

**Autor:** Burtscher Heinz

**DOI:** <https://doi.org/10.5169/seals-903745>

### **Nutzungsbedingungen**

Die ETH-Bibliothek ist die Anbieterin der digitalisierten Zeitschriften auf E-Periodica. Sie besitzt keine Urheberrechte an den Zeitschriften und ist nicht verantwortlich für deren Inhalte. Die Rechte liegen in der Regel bei den Herausgebern beziehungsweise den externen Rechteinhabern. Das Veröffentlichen von Bildern in Print- und Online-Publikationen sowie auf Social Media-Kanälen oder Webseiten ist nur mit vorheriger Genehmigung der Rechteinhaber erlaubt. [Mehr erfahren](#)

### **Conditions d'utilisation**

L'ETH Library est le fournisseur des revues numérisées. Elle ne détient aucun droit d'auteur sur les revues et n'est pas responsable de leur contenu. En règle générale, les droits sont détenus par les éditeurs ou les détenteurs de droits externes. La reproduction d'images dans des publications imprimées ou en ligne ainsi que sur des canaux de médias sociaux ou des sites web n'est autorisée qu'avec l'accord préalable des détenteurs des droits. [En savoir plus](#)

### **Terms of use**

The ETH Library is the provider of the digitised journals. It does not own any copyrights to the journals and is not responsible for their content. The rights usually lie with the publishers or the external rights holders. Publishing images in print and online publications, as well as on social media channels or websites, is only permitted with the prior consent of the rights holders. [Find out more](#)

**Download PDF:** 03.04.2026

**ETH-Bibliothek Zürich, E-Periodica, <https://www.e-periodica.ch>**

# Dynamische Messung von Partikeln mittels Aerosol-Photoemission

Heinz Burtscher

**Über die Emission von Elektronen durch Bestrahlung mit ultraviolett Licht (Photoemission) ist eine selektive und kontinuierliche Detektion von Partikeln aus unvollständiger Verbrennung möglich. Ein nach diesem Verfahren arbeitender Sensor spricht auf die auf den Partikeln enthaltenen polyaromatischen Kohlenwasserstoffe an und ist sowohl für Emissions- als auch für Immissionsmessungen einsetzbar. Ansprechzeiten von unter einer Sekunde sind erreichbar. Anwendungen bei Heizbrennern und Verbrennungsmotoren werden gezeigt.**

**Exposées à la lumière UV, les particules issues de combustions incomplètes émettent des photoélectrons qui permettent de les détecter de manière sélective et continue. Une sonde conçue selon ce principe est sensible aux hydrocarbures polyaromatiques déposés sur ces particules et permet la mesure d'émissions et d'immissions. Son temps de réaction est inférieur à une seconde. Quelques applications dans le domaine des brûleurs à mazout, des moteurs à combustion et du contrôle de la qualité de l'air sont présentées.**

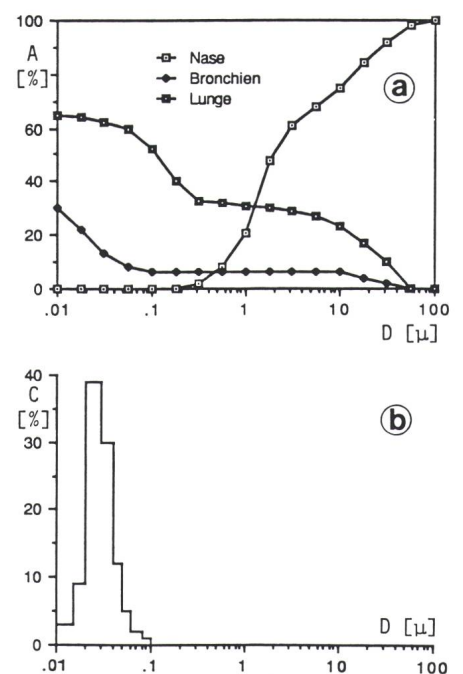
#### Adresse des Autors:

Heinz Burtscher, Dr. sc. techn.,  
Laboratorium für Festkörperphysik,  
ETH Hönggerberg, 8093 Zürich.

Neben den bekannten gasförmigen Emissionen wie  $\text{CO}_2$ ,  $\text{CO}$  oder  $\text{NO}_x$  verursachen die meisten Verbrennungsprozesse auch partikelförmige Emissionen. Wenn diese Partikel gross sind ( $\geq 1 \mu$ ), dann sind sie sichtbar und man spricht von Russ. Der weitaus grösste Teil der Partikel ist im allgemeinen aber sehr viel kleiner und hat Durchmesser bis hinunter zu 10 nm.

Der typische Durchmesser der Primärpartikel, die bei Verbrennungen entstehen, ist 20...50 nm. Während die Konzentration der Primärpartikel je nach Art und Zustand der Verbrennung stark variiert, ist deren Grösse immer etwa gleich. Anschliessend an ihre Entstehung agglomerieren die Primärpartikel dann zu je nach Konzentration mehr oder weniger grossen flockigen oder kettenförmigen Gebilden. Die grossen dieser Partikelagglomerate können z.B. in Strassentunnels zu beachtlichen Sichttrübungen führen. Ein Grossteil der emittierten Partikel ist aber viel kleiner als die Wellenlänge des sichtbaren Lichtes. Sie sind nicht mehr sichtbar (auch im Lichtmikroskop nicht). Auch ihre Sedimentationsgeschwindigkeit wird sehr klein, und sie können sich sehr lange in der Atmosphäre aufhalten. Ausserdem erfüllt bei so kleinen Partikeln unsere Nase ihre Filterfunktion nicht mehr, das heisst sie können bis in die Lunge vordringen, was sie vom toxikologischen Standpunkt aus bedeutsam macht. Figur 1 zeigt die Durchlasscharakteristik der menschlichen Atmungsorgane und im Vergleich dazu ein typisches Grössenspektrum von Dieselpartikeln. Ihre toxische Wirkung erhalten die Partikel vor allem durch flüchtige Substanzen, die beim Abkühlen des Abgases auf den zu einem grossen Teil aus Kohlenstoff bestehenden Partikeln kondensieren. Dabei wird den polyaromatischen

Kohlenwasserstoffen (PAK) und deren Derivaten wegen ihrer mutagenen und damit potentiell kanzerogenen Wirkung besondere Beachtung geschenkt [3]. Neben ihrer Bedeutung als Schadstoff kann die Partikelemission auch als Mass für die Qualität der Verbrennung dienen. Die Partikel sind zu einem beachtlichen Teil Produkte unvollständiger Verbrennung. Sie entstehen z.B. wenn wegen zu kleiner Luftzufuhr oder zu niedriger Brennraumtemperatur der Brennstoff nicht vollständig verbrennen kann. Wegen



**Figur 1 Abscheidecharakteristik und Partikelgrössenverteilung**

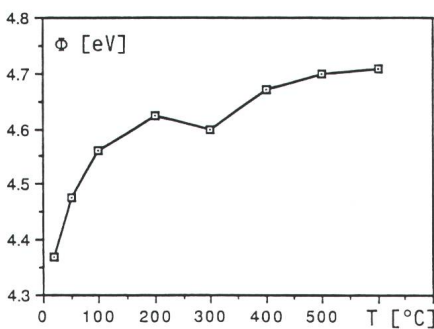
- a Abscheidecharakteristik der menschlichen Atmungsorgane nach [1]
- b Typische Partikelgrössenverteilung eines Dieselmotors nach [2]
- A Abgeschiedener Anteil
- C Anzahlkonzentration der Partikel
- D Partikeldurchmesser

schlechter Durchmischung von Luft und Brennstoff kann auch lokal ein Sauerstoffmangel bestehen, obwohl insgesamt genug Luft zugeführt wird. Das heisst, dass eine geeignete Messung der Abgaspartikel auch zur Überwachung und Führung der Verbrennung herangezogen werden kann. Dafür ist eine ausreichend schnelle, möglichst kontinuierliche Messung erforderlich.

Im folgenden wird ein Verfahren vorgestellt, das selektiv auf Partikel aus unvollständiger Verbrennung anspricht und eine kontinuierliche Messung erlaubt. Es basiert auf dem photoelektrischen Effekt, d.h. der Emission von Elektronen durch Bestrahlung mit ultraviolettem Licht.

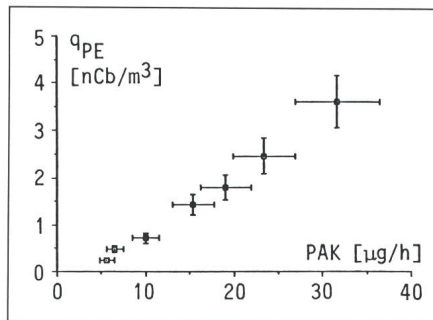
### Aerosol-Photoemission

Wenn das Abgas mit ultraviolettem Licht bestrahlt wird, können aufgrund des photoelektrischen Effekts Elektronen aus den darin enthaltenen Partikeln emittiert werden, sofern deren Ionisierungsenergie kleiner ist als die Photonenenergie des eingestrahlten Lichtes. Da die Ionisierungsenergie von Gasen wesentlich höher ist als diejenige der Partikel, kann eine Ionisierung des Gases durch entsprechende Wahl der Lichtwellenlänge leicht unterbunden werden. Nach der Emission eines Elektrons verbleiben die Partikel mit einer positiven Ladung und können



Figur 2 Ionisierungsenergie von Autoabgaspartikeln als Funktion der Abgastemperatur

Φ Ionisierungsenergie der Autoabgaspartikel aus Messung des Photoemissionsstromes in Abhängigkeit der Photonenenergie  
 T Abgastemperatur  
 Das Abgas wird vor der Messsonde durch eine Heizstrecke auf die Temperatur T gebracht; mit steigender Temperatur desorbieren oder pyrolysieren dabei Substanzen, welche die Ionisierungsenergie erniedrigen; bei ungefähr 600 °C erreicht die Ionisierungsenergie 4,7 eV, was etwa dem an reinen C-Partikeln gemessenen Wert entspricht.



Figur 3 Photoemission aus Ölbrennerabgasen als Funktion des PAK-Gehaltes

q<sub>PE</sub> durch Photoemission erzeugte positive Ladungskonzentration  
 PAK totaler PAK-Gehalt  
 Experimentelle Angaben:  
 Bestrahlung mit 8W-Hg-Niederdrucklampe (4,9 eV);  
 Strömungsgeschwindigkeit: 10 l/min;  
 Verdünnung 1:10; ein q<sub>PE</sub>-Wert von 1 Cb/m<sup>3</sup> entspricht einem Messstrom von 166 µA.

nen dann mit elektrischen Methoden detektiert werden. Der Prozess der Elektronenemission aus Partikeln ist in [4] näher beschrieben.

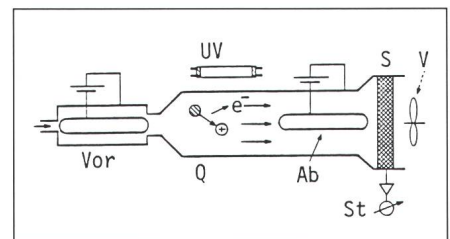
Die Ionisierungsenergie und die Austrittswahrscheinlichkeit der Elektronen sind sehr stark durch Oberflächeneigenschaften der Partikel bestimmt. Verschiedene Experimente haben gezeigt, dass von allen in der Luft oder im Abgas vorkommenden Partikeln diejenigen aus unvollständiger Verbrennung die niedrigste Ionisierungsenergie und eine hohe Ausbeute an emittierten Elektronen haben. Das heisst, bei geeigneter Wahl der Photonenenergie oder der Lichtwellenlänge können diese Partikel selektiv ionisiert und damit nachgewiesen werden.

Die hohe Emissionswahrscheinlichkeit wird durch die bereits erwähnten Adsorbate auf den Partikeln verursacht. Figur 2 zeigt die Ionisierungsenergie von Partikeln in Luftproben aus einer Tiefgarage, also im wesentlichen verdünnte Motorenabgase als Funktion der Gastemperatur. Bei steigender Temperatur dampfen die Adsorbate ab, die Ionisierungsenergie steigt und erreicht den Wert, der für reine Kohlenstoffpartikel erwartet wird. Dabei sind vor allem die PAK von Bedeutung. Dies zeigen einerseits Experimente mit künstlich erzeugten Kohlenstoffpartikeln, die mit PAK und anderen Kohlenwasserstoffen beschichtet wurden, wobei die PAK eine starke Erhöhung der Photoemission bewirkten [5]. Andererseits zeigen Messungen der Photoemission und paral-

lele chemische Analysen der Partikel auf PAK eine starke Korrelation zwischen PAK und Photoemission. Figur 3 zeigt die Beziehung zwischen Photoemissionswerten und gaschromatographisch bestimmtem PAK-Gehalt im Abgas eines Ölbrenners [6]. Ähnliche Korrelationen wurden auch bei Messungen mit Partikeln aus der Tiefgarage [6] und bei Tabakrauch [7] gefunden.

### Aufbau eines Aerosol-Photoemissionssensors

Die Figur 4 zeigt schematisch den grundsätzlichen Aufbau eines Sensors zur Messung der Photoemission an in Gas suspendierten Partikeln (Aerosol-Photoemission APE). Das Abgas strömt zuerst durch einen elektrostatischen Vorabscheider, in dem alle Ionen, die bei der Verbrennung in hoher Zahl entstehen, sowie bereits elektrisch geladene Partikel abgeschieden werden. Diese würden die nachfolgen-



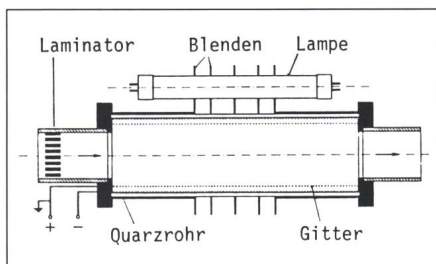
Figur 4 Schematischer Aufbau des Photoemissionssensors

UV UV-Lampe  
 S Staubfilter  
 V Ventilator  
 Vor Vorabscheider  
 Q Quarzrohr  
 Ab Abscheider für negative Ladungen  
 St Stromverstärker

de Messung stören. Anschliessend folgt der eigentliche Photoemissionsteil, z.B. ein Quarzrohr, welches von aussen mit ultraviolettem Licht durchstrahlt wird. Ein weiterer Abscheider, an dem eine Spannung angelegt wird, welche gross genug ist, um die sehr beweglichen Elektronen zu entfernen, ohne dabei aber die positiven Partikel wesentlich zu beeinflussen, trennt Elektronen und Partikel. Die Partikel folgen dem Gasfluss und gelangen schliesslich in den Messfilter, in welchem die Partikel abgeschieden werden. Der Filter ist isoliert montiert, der Strom, den die eintreffenden positiv

geladenen Partikel verursachen, wird mit einem mit dem Filter verbundenen Stromverstärker gemessen. Der grundsätzliche Aufbau des Sensors ist also recht einfach. Geeignete Lichtquellen sind Hg-Niederdrucklampen, die billig und problemlos im Betrieb sind.

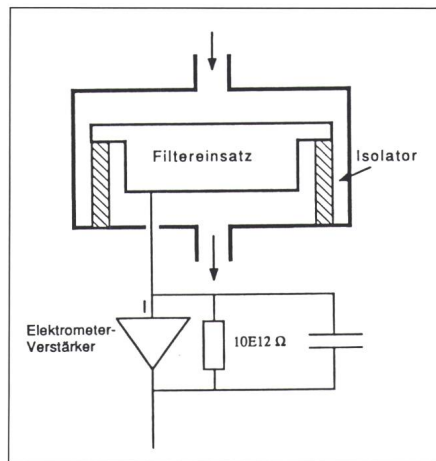
Der Sensor hat vor allem 2 kritische Stellen: Die eine ist die Wand der Photoemissionskammer, welche ebenfalls bestrahlt wird, selber aber keine Elektronen emittieren darf, die andere der Messfilter mit dem Stromverstärker, mit welchem Ströme im Bereich von  $10^{-14}$ A gemessen werden müssen. Die Wand sollte aus einem Material mit hoher Ionisierungsenergie bestehen. Solche Materialien sind aber Isolatoren, was eine statische Aufladung der Wand ermöglicht. Die dabei entstehenden elektrischen Felder können die Partikel abscheiden und sind also unzulässig. Lösungen, bei denen die Wand vom Lichtstrahl gar nicht getroffen wird, sind im Labor mit parallel einfallendem Licht möglich, für



**Figur 5 Aufbau der Photoemissionskammer**

Das Innere der beiden Gitter ist geerdet; zwischen den Gittern liegt eine Spannung an, durch welche Photoelektronen aus den Gittern abgesaugt werden; das Innere der Kammer bleibt feldfrei. Blenden verhindern, dass das Licht den Gaseinlass bzw. -auslass erreicht.

praktisch einsetzbare Geräte aber zu aufwendig. Eine mögliche Lösung zeigt Figur 5. Die Kammerwand besteht aus einem Quarzrohr mit zwei Metallgittern auf der Innenseite. Zwischen diesen Gittern ist eine Spannung angelegt. Nun können zwar Elektronen aus diesen Gittern oder dem Quarzrohr emittiert werden, sie werden aber durch die Spannung sofort wieder abgesaugt und können nicht ins Kammerinnere gelangen, welches selbst feldfrei bleibt. Ausserdem wird das Quarzrohr durch die Gitter vor Verschmutzung geschützt.



**Figur 6 Messfilter mit Verstärker**

Der Isolator besteht aus einem Glasring, der Filter ist temperaturgeregelt beheizt. Eine erhöhte Temperatur verhindert Kondensation am Isolator, die konstante Temperatur verhindert die Verstärkerdrift. Als Verstärker kommt ein MOS-FET Typ ICH 8500 zur Anwendung, die Auflösung liegt bei 2 fA.

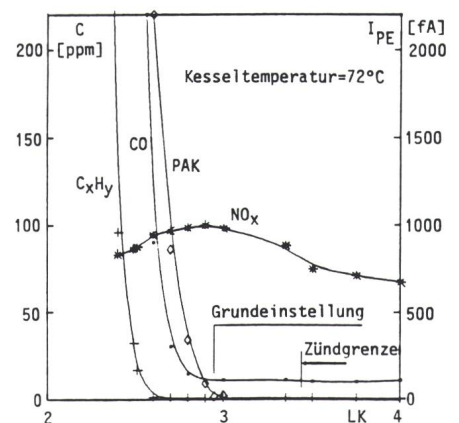
Die Figur 6 zeigt den Aufbau des Messfilters. Der eigentliche Partikelfilter, z.B. ein Papierfilter, ist in einem Faradaykäfig montiert, der durch einen Isolatorring gehalten ist. Wegen des Faradaykäfigs ist die Leitfähigkeit des Filtermaterials unwesentlich, für den gemessenen Strom ist nur die Anzahl Ladungen, welche in den Käfig eintritt, verantwortlich. An den Isolatorring werden wegen der extrem kleinen Ströme hohe Ansprüche gestellt. Als gut brauchbare Lösung erwies sich ein Glasisolator, der ständig auf etwa  $20^\circ\text{C}$  über die Gastemperatur geheizt wird. Durch die Heizung wird verhindert, dass sich der Isolator mit Feuchtigkeit aus dem Abgas beschlägt. Ausserdem wird die Verschmutzung stark reduziert, so dass auch bei längeren Messzeiten keine Verschmutzungsprobleme auftreten.

Je nach Auslegung des Sensors wird direkt im heissen Abgas gemessen oder das Abgas wird vorerst soweit verdünnt, dass der Taupunkt unter die Umgebungstemperatur zu liegen kommt (mindestens 1:5) und die Messung selbst bei Umgebungstemperatur erfolgt. Die Verdünnung kann mit gefilterter Umgebungsluft erfolgen. Die Verdünnung erlaubt auch eine höhere Strömungsgeschwindigkeit im Sensor, ohne dass sehr viel Abgas angesaugt wird. Das wirkt sich vorteilhaft auf die Ansprechzeit des Sensors aus, welche vor allem durch die Durchflusszeit des Gases durch das System bestimmt wird. Durch kompakten Aufbau und

schnellen Gasfluss lassen sich Messzeiten deutlich unter einer Sekunde erreichen, d.h. es können auch instationäre Zustände bei Verbrennungsmotoren zeitaufgelöst erfasst werden. Typische Durchflussraten sind 4...10 l/min durch den Sensor und 0,5...1 l/min Abgas vor der Verdünnung. Der gleiche Sensor kann ohne Verdünnung für Immissionsmessungen und mit Verdünnung für Emissionsmessungen eingesetzt werden.

## Messresultate

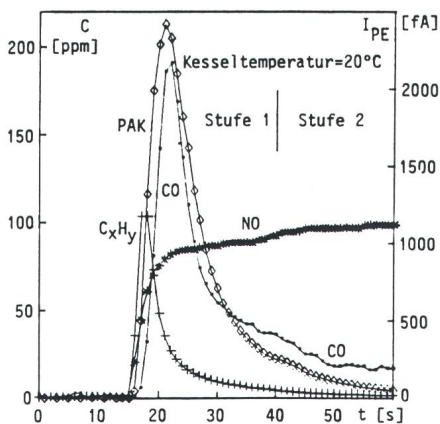
Im folgenden werden einige Messungen vorgestellt, die die Beziehung zwischen dem Signal der Photoemissionssonde, das wie weiter oben gezeigt dem Gehalt an PAK entspricht, und anderen Abgaskomponenten sowie Verbrennungsparametern aufzeigen. Sie sollen einige typische Einsatzmöglichkeiten demonstrieren. Figur 7 zeigt den Verlauf der wichtigsten Abgaskomponenten eines Ölbrenners als



**Figur 7 Emission von gasförmigen Kohlenwasserstoffen und von PAK bei einem Ölbrenner**

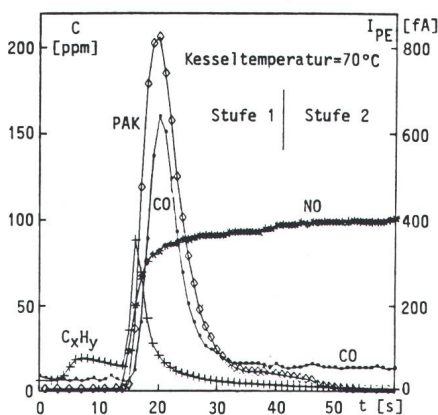
- C Konzentration gasförmiger Kohlenwasserstoffe  $\text{C}_x\text{H}_y$ , CO und  $\text{NO}_x$
- $I_{PE}$  Photoemissionsstrom als Mass für PAK-Konzentration; Verdünnung 1:20
- LK Luftklappenstellung am Ölbrenner

Funktion der Position der Luftklappe und der Luftzufuhr zum Brenner. Wenn zuwenig Luft zugeführt wird, steigen alle für unvollständige Verbrennung typischen Stoffe (CO,  $\text{C}_x\text{H}_y$ , PAK) sehr stark an, wobei die Messung zeigt, dass der PAK-Sensor als erster reagiert.



**Figur 8** Schadstoffausstoss eines Ölbrenners bei Kaltstart

**C** Konzentration von  $C_xH_y$ , CO und NO  
 **$I_{PE}$**  Photoemissionsstrom als Mass für PAK-Emission  
**t** Zeit nach Einschalten des Brenners, Messungen an zweistufigem Ölbrenner  
 Während bei Warmstart nach ungefähr 20 s die stationären Betriebsparameter erreicht werden (siehe Fig. 9), misst man hier beim Kaltstart nach dieser Zeit noch erheblich erhöhte Abgaswerte.



**Figur 9** Schadstoffausstoss eines Ölbrenners bei Warmstart

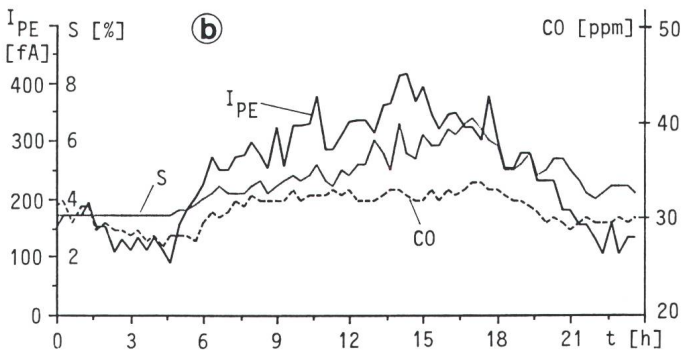
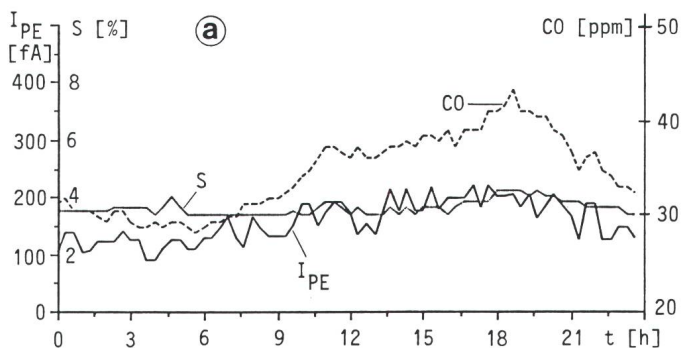
**C** Konzentration von  $C_xH_y$ , CO und NO  
 **$I_{PE}$**  Photoemissionsstrom als Mass für PAK-Emission  
**t** Zeit nach Einschalten des Brenners, Messungen an zweistufigem Ölbrenner

Die Figuren 8 und 9 zeigen die Emissionen beim Start des Brenners im kalten und im vorgewärmten Zustand als Beispiel für einen transienten Vorgang. Während die Emissionen des richtig eingestellten Brenners im kontinuierlichen Betrieb gering sind, treten beim Start kurzzeitig recht hohe Werte auf, besonders beim Kaltstart. Auch hier reagiert der Partikelausstoss besonders empfindlich. Der Unterschied im Photoemissionssignal zwischen Kalt- und Warmstart ist wesentlich grösser als z.B. in der CO-Konzentration.

Ein weiteres Beispiel zeigt Messungen in einem Strassentunnel. Dabei wurden wieder CO- und PAK-Konzentrationen sowie die Sichttrübung gemessen. Die Figur 10 zeigt den Tagesverlauf für einen Wochentag und für einen Sonntag. Es ist sehr deutlich zu erkennen, dass die Sichttrübung, die vor allem von grossen Partikeln aus Dieselmotoren stammt, am Sonntag, wenn keine Lastwagen verkehren, sehr viel geringer ist, während das CO, das im wesentlichen von Ottomotoren produziert wird, am Sonntagabend sogar ein Maximum hat. Das Photoemissionssignal liegt dazwischen, korreliert aber besser mit der Sichttrübung. Die für die Sichttrübung relevanten Partikel stammen zum grösseren Teil von Dieselmotoren. Aber auch Ottomotoren, vor allem diejenigen ohne Katalysator, emittieren grössere Mengen an

sehr kleinen Partikeln, die fast vollständig im «unsichtbaren» Grössenbereich liegen, von der Photoemissionssonde jedoch erfasst werden.

**Figur 10** Tagesverlauf der CO- und der PAK-Konzentrationen sowie der Sichttrübung in Strassentunnel

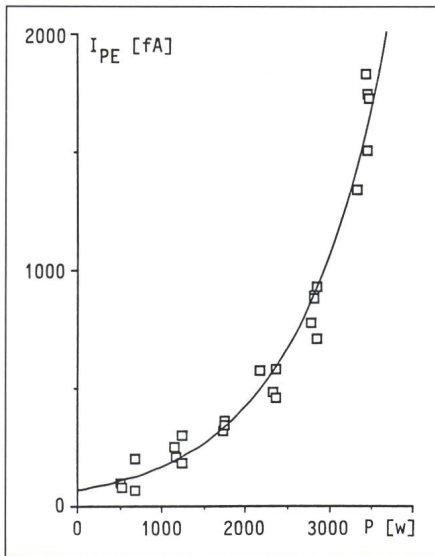


**a** Messungen an einem Sonntag (9.7.89)  
**b** Messungen an einem Werktag (10.7.89)  
 **$I_{PE}$**  Photoemissionsstrom als Mass für PAK-Konzentration  
**CO** CO-Konzentration  
**S** Sichttrübung  
**t** Tageszeit  
 Messungen erfolgten im Belchentunnel

Die Partikelemissionen steigen bei Dieselmotoren sehr stark mit der Motorleistung an, wie aus Figur 11 ersichtlich ist. Hier wurde an einer Diesel-Generatorgruppe (Nennleistung 4kW) bei konstanter Drehzahl von 3000 U/min gemessen.

### Schlussfolgerungen

- Mit dem Photoemissionssensor wird ein Summenparameter für den PAK-Gehalt der Verbrennungspartikel gemessen.
- Die Messung erfolgt kontinuierlich mit Ansprechzeiten im Sekundenbereich (kürzere Zeiten sind möglich).
- Einsatzmöglichkeiten liegen vor allem im Bereich der Überwachung und Regelung von Verbrennungsprozessen, z.B. zur Einstellung der Luftzufuhr [8,9].
- Wegen der kurzen Ansprechzeit können auch dynamische Vorgänge (Motorbeschleunigung usw.) verfolgt werden.
- Weitere Anwendungsmöglichkeiten liegen im Bereich der Überwachung der Luftqualität, z.B. in Strassentun-



**Figur 11 Partikelemissionen bei Dieselmotor in Funktion der Last bei konstanter Drehzahl**

$I_{PE}$  Photoemissionsstrom als Mass für Partikelemission  
 $P$  Last bei konstanter Drehzahl von 3000 U/min  
 Die durchgezogene Kurve entspricht einer Exponentialfunktion  
 Messung wurde an Diesel-Generator-Gruppe Yamaha EDA 4700 durchgeführt; Nennleistung  $P_N = 4 \text{ kW}$

nels, wo mit einer Messung Emissionen von Diesel- und Ottomotoren erfasst werden. Dies kann eventuell für Belüftungssteuerungen von Interesse sein.

Der Autor dankt Herrn Pelet und Herrn Peter von ABB für die Überlassung ihrer Messresultate sowie den Herren Dinkel vom kantonalen Tiefbauamt Baselland und Oberer vom Werkhof Sissach für ihre Mithilfe bei den Messungen im Belchentunnel. Probenahme und Analysen zur gaschromatographischen PAK-Bestimmung wurden von S. McDow, EAWAG, durchgeführt. Die Entwicklung des Photoemissionssensors wurde durch die Unterstützung und die gute Zusammenarbeit mit der U. Matter AG, Wohlen, sehr gefördert.

**Literatur**

[1] J. Heyder a.o.: Deposition of particles in the human respiratory tract in the size range 0.005-15  $\mu\text{m}$ . Journal of Aerosol Science 17 (1986) 5, p. 811...825.  
 [2] H. G. Wagner: Soot formation in combustion. Seventeenth Symposium (International) on Combustion, Leeds/England. August 20...25, 1978; p. 3...19.  
 [3a] G. Grimmer a. o.: Analysis of the balance of carcinogenic impact from emission condensate of automobile exhaust by implantation into the lung of rats as carcinogen specific detector. In: Polynuclear aromatic hydrocarbons: formation, metabolism and measure-

ment. Proceedings of the seventh International Symposium on Polynuclear Aromatic Hydrocarbon, Battelle's Columbus Laboratories, October 26...28, 1982. Editor: M. Cooke and A. J. Dennis. Columbus/Richland, Battelle Press, 1983; p. 571...582.

[3b] J. Santodonato, P. Howard and D. Basu: Health and ecological assessment of polynuclear aromatic hydrocarbons. Journal of Environmental Pathology and Toxicology 5 (1981) 1.  
 [4] H. Burtscher a. o.: Probing aerosols by photoelectric charging. Journal of Applied Physics 53 (1982) 5, p. 3787...3791.  
 [5a] H. Burtscher and A. Schmidt-Ott: In situ measurement of adsorption and condensation of a polyaromatic hydrocarbon on ultrafine C particles by means of photoemission. Journal of Aerosol Science 17 (1986) 4, p. 699...703.  
 [5b] R. Niessner and P. Wilbring: Ultrafine particles as trace catchers for polycyclic aromatic hydrocarbons; The photoelectric aerosol sensor as a tool for in situ sorption and desorption studies. Analytical Chemistry 61 (1989) 7, p. 708...714.  
 [6] S. McDow a. o.: Polycyclic aromatic hydrocarbons and combustion aerosol photoemission. Eingereicht bei Atmospheric Environment (1989).  
 [7] R. Niessner and F. Walenzik: The aerosol photoemission sensor as a fast responding and sensitive detector system for cigarette smoke analysis. Fresenius Zeitschrift für Analytische Chemie 333 (1989)-S. 129...133.  
 [8] H. Burtscher, A. Schmidt-Ott and H. C. Siegmann: Monitoring particulate emissions from combustions by photoemission. Aerosol Science and Technology 8(1988)2, p. 125...132.  
 [9] Erkennen und Reduzieren von Verbrennungsabgasen. APE Aerosol-Photo-Emissions Sensor. U. Matter AG, Wohlen/AG.



## Ersetzen Sie im Handumdrehn altes Licht durch Halogen.

Jetzt wechseln Sie im wahrsten Sinn des Wortes im Handumdrehn zum luxuriösen, modernen Halogenlicht – ohne spezielle Fassung und ohne Transformator. Denn die neue Halogenlampe PAR 38 De Luxe arbeitet mit normaler Netzspannung. Einfach wie einen gewöhnlichen Spot in die herkömmliche Fassung schrauben.

Die neue Halogen PAR 38 De Luxe ist die erste PAR 38 Halogenlampe für Netzspannung. Hotels, Boutiquen und Restaurants stellen damit im Handumdrehn, problemlos und äusserst preiswert, auf dekoratives Halogenlicht um. Und der Name Sylvania bietet Gewähr für



höchste Qualität und anhaltende Brillanz. Während ihrer Lebensdauer spart eine Halogen PAR 38 De Luxe beachtlich Strom: Eine 100W Halogen PAR 38 De Luxe z.B. rund Fr. 8.– gegenüber einer herkömmlichen 120W Lampe – und das ohne den geringsten Verlust an Lichtintensität. Ersetzen Sie jetzt im Handumdrehn das gewöhnliche Licht durch PAR 38 De Luxe. Der Unterschied wird Sie begeistern.

**SYLVANIA**

**GTE**

GTE Sylvania A.G. 4, ch. des Léchères, CH-1217 Meyrin,  
Tel. 022/820072, Telex 419059, Telefax 022/820742